

بررسی تاریخ تکاملی زیرگونه کمرکولی جنگلی در کوه‌های زاگرس، ایران

مسعود نظری‌زاده^۱، محمد کابالی^{۱*}، حمیدرضا رضایی^۲، جلیل ایمانی^۳، علیرضا محمدی^۱ و سعید خاکی^۱

دریافت: ۱۰/۱۰/۱۳۹۵ / ویرایش: ۱۳۹۶/۹/۲۵ / پذیرش: ۱۳۹۷/۶/۲۹ / انتشار: ۱۳۹۷/۶/۲۹

^۱گروه محیط‌زیست دانشکده منابع طبیعی، پردیس کشاورزی و منابع طبیعی، دانشگاه تهران، کرج، ایران

^۲گروه محیط‌زیست، دانشکده شیلات و محیط‌زیست، دانشگاه علوم کشاورزی و منابع طبیعی گرگان، گرگان، ایران

^۳گروه محیط‌زیست و انرژی، دانشگاه آزاد اسلامی واحد علوم و تحقیقات تهران، تهران، ایران

*مسئول مکاتبات: mkaboli@ut.ac.ir

چکیده. کمرکولی جنگلی در ناحیه اوراسیا با حدود ۱۸ زیرگونه از گسترش وسیعی در جنگل‌های خزان‌کننده پهنه‌برگ بروخوردار است. هدف از پژوهش حاضر بررسی ساختار ژنتیکی و روابط تکاملی زیرگونه کمرکولی جنگلی رشته کوه زاگرس در مقایسه با کلادهای اروپایی، آسیایی و قفقازی است. تعداد ۱۰ فرد از دو ناحیه زاگرس شمالی در استان کرمانشاه و زاگرس جنوبی در استان کهگیلویه و بویراحمد با مجوز از سازمان حفاظت محیط‌زیست زنده‌گیری و نمونه‌های خون آنها برداشت شد. مطالعات ژنتیکی با استفاده از ۱۳۶ توالی کامل ژن ND2 (جفت باز) مستخرج از بانک ژن و ۱۰ توالی از رشته کوه زاگرس تحت بررسی قرار گرفت. تحلیل‌های تبارشناصی با استفاده از مدل TRN+G و رسم درخت بیزین و حداقل درست نمایی انجام گرفت. همچنین روابط بین هاپلوتایپ‌ها با استفاده اگوریتم‌های اتصال میانه و پارسیمونی تحت بررسی قرار گرفت. نتایج این مطالعه چهار هاپلوتایپ منحصر به فرد را برای جمعیت‌های زاگرس نشان داد. همچنین تحلیل‌های تبارشناصی حاکی از آن بود که جمعیت‌های زاگرس از تبار قفقازی تفکیک‌پذیر است. نتایج آماره F_{ST} حاصل از تحلیل واریانس مولکولی تغییرات معنی‌دار ساختار ژنتیکی را در بین جمعیت‌های مختلف کمرکولی جنگلی را نشان داد. آماره F_{CT} نیز حاکی از بروز تغییرات ژنتیکی قابل توجه در بین جمعیت‌های مختلف تبارهای آسیا، اروپا، قفقاز و زاگرس بود. در نهایت جمعیت‌های مختلف کمرکولی جنگلی در اوراسیا را می‌توان به سه گونه تکامل نژادی تقسیم نمود و زیرگونه‌های *S.e. caucasian* و *S.e. persica* را به عنوان دو گونه تکامل نژادی مشترک در نظر گرفت.

واژه‌های کلیدی. اوراسیا، روابط فیلوزنی، گونه تکامل نژادی، میتوکندری، نشانگر ND2

Evolutionary history of subspecies of Eurasian nuthatches (*Sitta europaea persica*) from Zagros Mountains, Iran

Masoud Nazarizadeh¹, Mohammad Kaboli^{1*}, Hamid Reza Rezaei², Jalil Imani³, Alireza

Mohmmadi¹ & Saeid Khaki¹

Received 10.01.2017/ Revised 16.12.2017/ Accepted 16.05.2018 / Published 20.09.2018

¹Department of Environmental Sciences, Faculty of Natural Resources, University of Tehran, Karaj, Iran

²Department of Environmental Sciences, Gorgan University of Agricultural Sciences and Natural Resources, Gorgan, Iran

³Department of Environment and Energy, Islamic Azad University, Tehran, Iran

Correspondent author: mkaboli@ut.ac.ir

Abstract. *Sitta europaea*, with 18 subspecies, has a wide distribution in deciduous forests of Eurasia. The aim of this study was to evaluate the taxonomic and phylogenetic relationships of this subspecies to European, Asian as well as Caucasian clades. 10 individuals of two populations from Zagros forests in Kermanshah and Kohgiluyeh and Boyer-Ahmad Provinces were captured with permission from Iran Department of Environment and their blood samples were collected. Furthermore, we used ND2 sequence data (1041 bp) for 136 sequences from GenBank and 10 sequences from Zagros Mts. Genetic variations and Genealogical analysis was calculated using complete ND2 gene sequence (1041bp) and TRN+G model, Bayesian trees and maximum likelihood, respectively. Median joining algorithm showed the relationships among haplotypes. We found four new haplotypes for the Zagros populations. Phylogenetic analysis indicated that Zagros populations were distinct from Caucasian clade. F_{ST} statistical values, resulting from the analysis of molecular variance represented significant variations in genetic structure among Eurasian Nuthatch populations. Moreover, F_{CT} revealed significant variation among European, Asian and Caucasian clades. Our result suggests that Eurasian Nuthatch populations in Eurasia comprise three phylogenetic species, and likely biological species. However, the previous nomenclature subspecies, *S.e. caucasian* and *S.e. persica*, can be regarded as a common phylogenetic species.

Keywords. Eurasia, mitocondria, ND2 marker, phylogenetic relationship, phylogenetic species

مقدمه

فرایندهای جهش، انتخاب، مهاجرت و رانش ژنتیکی منابع اصلی ایجاد تغییرات ژنتیکی در یک جمعیت یا جمیعت‌های یک گونه به شمار می‌رود. تعقیب این تغییرات از طریق نشانگرهای مولکولی امکان‌پذیر است. دیانای میتوکندریایی بعنوان یک نشانگر مولکولی این تغییرات را در جمیعت‌ها و گونه‌ها نشان می‌دهد و برای تشخیص گروه‌هایی که برای ۱۰۰۰ تا ۱۰۰۰۰ سال از هم جدا بوده‌اند مورد استفاده قرار گرفته است (Hiendleder *et al.*, 1998). ND2 میتوکندریایی در راسته گنجشک‌شکلان دارای تنوع ژنتیکی بالاتری نسبت به نشانگرهای ایتررون و اگزون بوده است (Hung *et al.*, 2012). همچنین تغییرات نوکلئوتیدی در این ژن بیشتر تحت تأثیر جربان ژنی بوده است و میزان کمتری به فرایند انتخاب طبیعی وابسته است (Hung *et al.*, 2012; Hung & Zink, 2014). حتی عمل کرد ژن ND2 در شناسایی گنجشک‌شکلان و DNA بارکدینگ آنها به مرتب بهتر از ژن COI گزارش شده است (Nouri & Aliabadian, 2014).

مطالعات محققان در مورد جمیعت‌های کمرکولی جنگلی وجود ابهاماتی را در آرایه‌شناختی زیرگونه‌های آن در گستره پراکنشش آشکار ساخته است. بر این اساس تا اواخر دهه ۱۹۵۰ وجود ۴۰ زیرگونه در محدوده پراکنش این گونه گزارش شده است (Clements & Vaurie, 1950). این در حالی است که ۱۸ زیرگونه برای آن در نظر گرفتند که زیرگونه *S.e. persica* را بعنوان یک زیرگونه منحصر به فرد در زیستگاه‌های جنگلی رشته کوه زاگرس معرفی نمودند. از سوی دیگر Harrap و Quinn (1995) کمرکولی‌های جنگلی اوراسیا را بر اساس صفات ریخت‌شناختی به سه دسته شامل *caesia* (زیرته نخدودی و زیر گلو سفید رنگ)، *europaea* (زیرته سفید رنگ) و *sinensis* (زیرته و گلو زرد رنگ) تقسیم کردند. بر مبنای این طبقه‌بندی، کمرکولی‌های جنگلی زاگرس و البزر در گروه *caesia* جای گرفتند. همچنین، علیرغم مطالعات گسترده‌ای در زمینه ژنتیک جمیعت کمرکولی‌های جنگلی جهان صورت گرفته (Hung *et al.*, 2012; Zink *et al.*, 2006) ولی فقدان اطلاعات ژنتیکی در زمینه روابط خویشاوندی و تکاملی جمیعت‌های این زیرگونه در ایران به چشم می‌خورد. لذا این مطالعه با هدف بررسی ساختار ژنتیکی و آرایه‌شناختی جمیعت‌های

(*Sitta europaea* Linnaeus, 1758) پرنده مقیم زیستگاه‌های جنگلی پهن برگ بوده و با ۱۸ زیرگونه در دامنه وسیعی از اوراسیا (شرق سیبری تا غرب اورپا) پراکنش دارد (Matthysen & Currie, 1996; Pravosudov, 1993; Clements *et al.*, 2014). این پرنده بعنوان یک گونه کانونی نقشی اساسی در طراحی راهبردهای حفاظت از تنوع زیستی ایفا می‌کند (Bianconi *et al.*, 2003; Matthysen & Currie, 1996; Mortelliti *et al.*, 2010; Zuckerberg *et al.*, 2014). چراکه بعنوان یک گونه شاخص می‌تواند وضعیت سیستم‌های بوم‌شناختی پیچیده را منعکس سازد و اطلاعات مناسبی از آسیب جمیعتی نسبت به تکه‌شدگی زیستگاه فراهم سازد (Baguette *et al.*, 2012; Bianconi *et al.*, 2003; Matthysen *et al.*, 1995; Mortelliti *et al.*, 2010). از طرفی هر گونه طرح حفاظتی برای گونه‌های چندسنخی بایستی براساس روابط تکاملی و خویشاوندی انجام بگیرید تا فرایندهای تکاملی، جمیعت‌های مختلف این گونه را در جهت افزایش سازگاری با تغییرات محیطی سوق می‌دهد (Zink *et al.*, 2000; Hung *et al.*, 2012).

بهطور کلی زیرگونه‌ها در صورتی که نشان‌دهنده واحدهای مستقل تاریخی باشند می‌توانند سه نقش عمل کردی در آرایه‌شناختی، تکامل و حفاظت از تنوع زیستی ایفا کنند (Zink, 2004). اگرچه مفهوم زیرگونه براساس رده‌بندی لینه با ظهور مفهوم گونه زیست‌شناختی در اواسط قرن ۲۰ میلادی رواج یافت، ولی با پیشرفت علم ژنتیک جمیعت مفهوم زیرگونه شکل تازه به خود گرفت (Avise & Wollenberg, 1997; Mayr, 1970; Mulcahy, 2008). بدین ترتیب در سال‌های اخیر مطالعات متعدد ژنتیکی نشان دادند که تمامی زیرگونه‌های یک گونه نمی‌توانند بعنوان واحدهای تکاملی در نظر گرفته شوند (Burbrink *et al.*, 2000; Mulcahy, 2008). به طوریکه بیش از ۹۷ درصد زیرگونه‌های پرنده‌گان و بخصوص گنجشک‌سانان نشان دهنده واحدهای تکاملی مجزا نبودند (Zink, 2004). لذا بازنگری آرایه‌شناختی زیرگونه‌ها و یا حتی بررسی روابط خویشاوندی بر اساس داده‌های ژنتیکی و تبارشناصی بیش از پیش ضرورت یافت.

H1064 CTTTGAAGGC- AAAT و آغازگر برگشت (Drovetski *et al.*, 2004) جهت تکثیر قطعه‌ای به طول ۱۰۴۱ جفت باز استفاده شد. تکثیر جایگاه‌های ژنی با استفاده از واکنش زنجیره‌ای پلی‌مراز در حجم ۵۰ میکرولیتر (TopTaq Master Mix Kit) و شرایطی شامل یک میکرولیتر dNTP، ۱/۲۵ واحد آتنزیم تک پلی‌مراز، ۲۰۰ میکرومولار DNA، یک میکرولیتر $MgCl_2$ ۰/۴ میکرومولار محلول آغازگر پنج پیکومولار، ۰/۵ میکرولیتر بافر 10X و آب دو بار تقطیر تا رسیدن به حجم ۵۰ میکرولیتر انجام گرفت. چرخه دمایی برای تکثیر توالی کامل ژن ND2 عبارت بود از ۱۰ دقیقه در دمای ۹۵ درجه سانتی‌گراد و در ادامه ۳۵ چرخه، شامل ۳۰ ثانیه در ۹۴ درجه و ۳۰ ثانیه در دمای ۵۸ درجه و یک دقیقه در ۷۲ درجه سانتی‌گراد و بسط نهایی با ۷۲ درجه در پنج دقیقه (Drovetski *et al.*, 2004).

به منظور تایید تکثیر ناحیه مورد نظر، الکتروفورز محصولات PCR بر روی ژل آگاروز ۲ درصد با رنگ آمیزی اتیدیوم بروماید صورت گرفت. در نهایت محصول PCR با استفاده از دستگاه 3730 Applied Biosystems 3730/ Bioneer روش اتوماتیک سانگر توالی‌بایی شدند.

تجزیه و تحلیل داده‌ها

توالی‌های دریافت شده در ابتدا توسط SeqScape 2.6 بررسی و خطاهای موجود اصلاح شد. سپس ۱۳۶ توالی از مطالعات پیشین (Zink 2006; Hung *et al.*, 2012) و بانک ژن (نام اختصاری ثبت شده در بانک ژن DQ219639-DQ219772) دانلود شد تا امکان انجام تجزیه و تحلیل‌ها مقایسه‌ای با سایر جمعیت‌های گونه مورد نظر در منطقه پالئاریک فراهم شود. در نهایت ۱۴۶ توالی با استفاده از نرم‌افزار BioEdit 7.2.5 و الگوریتم Clustalw هم ردیف شد. (Thompson *et al.*, 1994). تعیین فاصله ژنتیکی بین جمعیت‌ها توسط نرم‌افزار MEGA 5.3 و مدل K2P با ۱۰۰۰ تکرار انجام شد (Tamura *et al.*, 2011).

همچنین تحلیل بارکدینگ گپ برای بررسی گپ واگرایی در بین جمعیت‌های مختلف با استفاده ABGD و مدل تکاملی K2P تخمین زده شد (Puillandre *et al.*, 2011) قبل از آغاز تحلیلهای تبارشناسی، فرضیه اشاع جایگزینی با استفاده از نرم‌افزار DAMBE 6.0.4 تحت بررسی قرار گرفت (Xia & Lemey, 2009; Xia & Xie, 2001).

کمرکولی جنگلی زاگرس *S.e. persica* با استفاده از توالی كامل ژن ND2 (1041 bp) انجام شده است.

مواد و روش‌ها

گونه تحت مطالعه

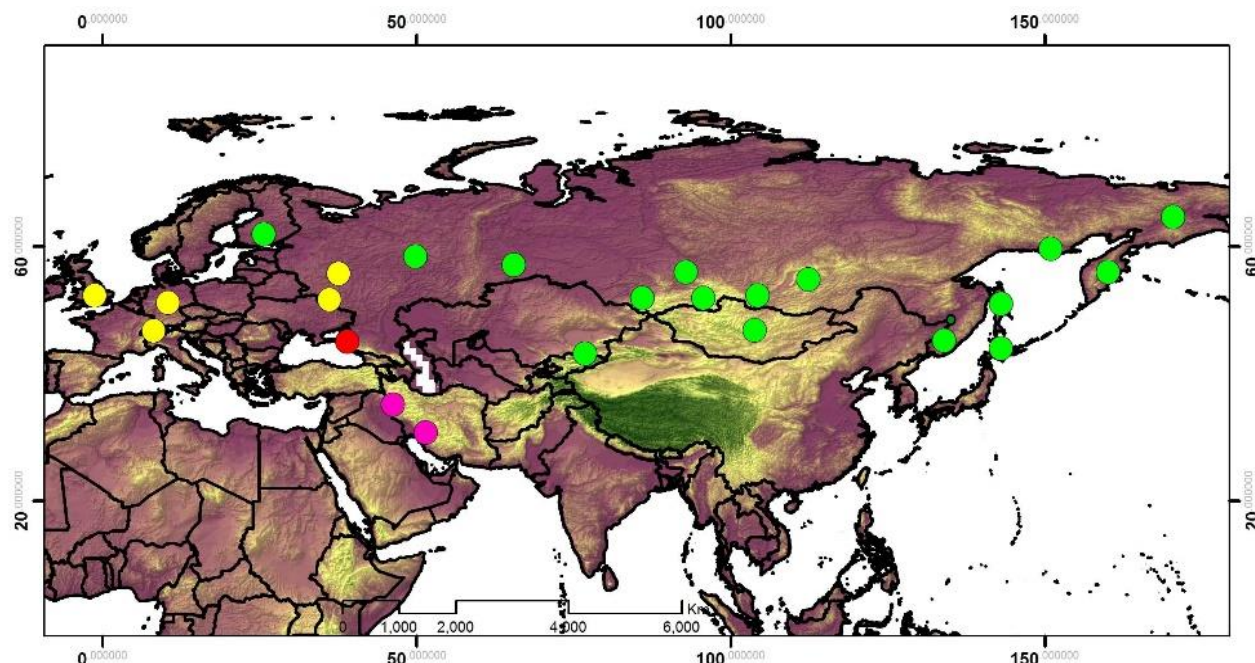
کمرکولی جنگلی، متوسط جثه با سر بزرگ، دم کوتاه و منقار قوی، ضخیم، به نسبت دراز و مستقیم است. نر و ماده تقریباً همشکل و قادر تغییرات فصلی هستند. در پرندۀ نر بالغ در دورۀ جوجه‌آوری تارک سر، پس گردن، روتنه و پوشش‌های روی بال‌ها خاکستری مایل به آبی است. نوار چشمی سیاه و بلندی دارد که از جلوی پیشانی شروع و تا دو طرف گردن امتداد یافته است. پرهای کناری دم تیره است، نزدیک به انتهای خال‌های سفید دارند و نوک آنها خاکستری دیده می‌شود. زیر گونه *S. e. persica* که در غرب ایران یافت می‌شود، با تنۀ خاکستری کمرنگ، زیرتنه سفید، نوار سفیدی در پیشانی و رگه سفیدی در نوار ابرویی دیده می‌شود (Kaboli *et al.*, 2012).

جمع آوری نمونه

نمونه‌برداری از تعداد ۱۰ نمونه تحت مجوز شماره ۹۴/۶۰۴۹ برای استان‌های کرمانشاه و کهگیلویه و بویراحمد انجام شد (شکل ۱). با پخش آواز کمرکولی جنگلی در هر قلمرو، فرد صاحب آن قلمرو به سوی صدا جذب و سپس به وسیله تور نامرئی زنده گیری شد. سپس با استفاده از لوله مویین به مقدار ۸۰ تا ۱۵۰ میکرولیتر (کمتر از یک درصد وزن بدن پرنده) از سیاهرگ زیر بال خون‌گیری شده و در بافر EDTA به آزمایشگاه منتقل شد (Owen, 2011). پس از خون‌گیری، نمونه‌ها بلافصله در محل صید رهاسازی شدند. همچنین تعداد ۱۳۳ توالی ژن ND2 از مطالعه Zink و همکاران (2006) (نام اختصاری ثبت شده در بانک ژن DQ219772- DQ219639) و ۳ توالی از مطالعه Hung و همکاران (2012) (توالی‌ها از طریق مکاتبات شخصی با نویسنده‌گان دریافت شد) توسط بانک ژن دانلود شد و بدین ترتیب تحلیلها با مجموعه داده‌ای با ۱۴۶ توالی انجام گرفت.

استخراج DNA، چرخه PCR و توالی‌بایی

دی‌ان‌ای از نمونه‌های خون با استفاده از دستورالعمل کیت بافت و خون کیاژن استخراج شد. در ابتدا از آغازگر رفت L5215 (Hackett, 1996) TATCGGGCCCATAACCCCGA-



شکل ۱- مناطق پراکنش هاپلوتایپ های ژن ND2 در اوراسیا، دایره های رنگی نشان دهنده کلادهای شناخته شده (سبز= کلاد آسیا، قرمز = کلاد آسیا، زرد= کلاد اروپا) براساس مطالعات (Zink et al., 2006) و (Hung et al., 2012). دایره صورتی رنگ مربوط به جمعیت های کرمانشاه و یاسوج در رشته کوه زاگرس.

Fig. 1. Distribution of Eurasian Nuthatches ND2 haplotypes (Zink et al., 2006; Hung et al., 2012). Color of circle for lineages and haplotypes: Asian lineage (Green), Caucasian lineage (Red), and European lineage (Yellow). According to Hung et al. (2012) and Zink et al. (2006). Sample localities in Iran, including: Zagros forests (Kermanshah and Yasouj) (Pinkish circles).

استفاده شد (Ronquist & Huelsenbeck, 2003). تحلیل های بیزین براساس چرخه زنجیره مارکوو با ۱۰ میلیون تکرار و فراوانی نمونه ۱۰۰ انجام شد. درخت های بیزین و حداقل درست نمایی بوسیله برون گروههای *S. canadensis*, *S. carolinensis*, *S. e. arctica* و *S. pygmaea* اختصاری ثبت شده در بانک ژن به ترتیب DQ219774.1, EF108553.1 DQ219778.1, DQ219776.1, EF108553.1 DQ219778.1 ایستایی و انحراف معیار درخت بیزین رسم شده در نرم افزار Drummond 1.4 Tracer 1.4 تحت بررسی قرار گرفت (Rambaut, 2007). برای بررسی ارتباط بین هاپلوتایپ ها و ترسیم شبکه هاپلوتایپی با استفاده از منطق اتصال میانه و نرم افزار Network 4.6.1.3 (Bandelt et al., 1999) انجام گرفت.

نتایج

تحلیل داده ها با استفاده از توالی ۱۰۴۱ جفت باز ژن ND2 نشان داد که ۹۴۵ جایگاه حفاظت شده (غیرمخبر) و ۹۶ جایگاه چندشکلی بوده که شامل ۶۳ جایگاه حاوی اطلاعات پارسیمنوی (مخبر) و ۲۳ جایگاه تک متغیر بوده است. مقدار (Iss

چند شکلی و نمودار پراکنش نامخوان با استفاده از نرم افزار DNAsp 5.10 تخمین زده شد (Librado & Rozas, 2009). همچنین از نرم افزار Arlequin 3.5 برای تعیین تعداد شاخص تنوع ژنتیکی (تنوع هاپلوتایپی و نوکلئوتیدی)، استفاده شد. تحلیل واریانس مولکولی (AMOVA) با استفاده از این نرم افزار و با دو نوع گروه بندی ۱۰۰۰۰ تکرار صورت گرفت (Excoffier & Schneider, 1999). در روش اول همه جمعیت های تحت بررسی به یک گروه مشابه تقسیم شدند و در روش دوم گروه بندی براساس تحلیل های تبارشناسی و تبارهای شناسایی شده انجام گرفت به طوریکه جمعیت های یک کلاد در گروه مشابه طبقه بندی شدند. سپس آماره های F_{CT} (تغییرات ژنتیکی در میان گروهها)، F_{ST} (تغییرات ژنتیکی در میان جمعیت ها) و F_{SC} (تغییرات ژنتیکی در میان جمعیت های یک گروه) تعیین شدند (Khalilipour et al., 2014) برای تعیین بهترین مدل جانشینی نوکلئوتیدی از نرم افزار JModelTest 2.1.3 استفاده شد (Darriba et al., 2012). سپس با توجه به مدل انتخاب شده از نرم افزار Phyml 3.1 برای ترسیم درخت حداقل درست نمایی (Guindon & Gascuel, 2003) و از نرم افزار MrBayes 3.2.2 برای ترسیم درخت بیزین

در سطح خطای ۰/۰۵ معنی دار شدند. جدول ۳ میزان فاصله ژنتیکی در بین ۵ زیرگونه کمرکولی جنگلی را نشان می دهد. بیشترین فاصله ژنتیکی در بین زیرگونه های *S.e. asiatica* با *S.e. europaea* مشاهد شد. در حالی که کمترین فاصله ژنتیکی در بین *S.e. persica* و *S.e. amurensis* با *S.e. asiatica* در *S.e. caucasian* با *S.e. caucasian* به دست آمد. شکل ۶، تحلیل بارکدینگ در بین زیرگونه های مختلف کمرکولی جنگلی را نشان می دهد. نتایج این آزمون وجود یک گپ واگرایی در بین زیرگونه های مختلف را نشان می دهد. براین اساس یک آستانه ۰/۰۳ تا ۰/۰۴ درصدی بعنوان گپ واگرایی ژنتیکی در مقایسه با افراد درون جمعیتی است.

بحث و نتیجه گیری

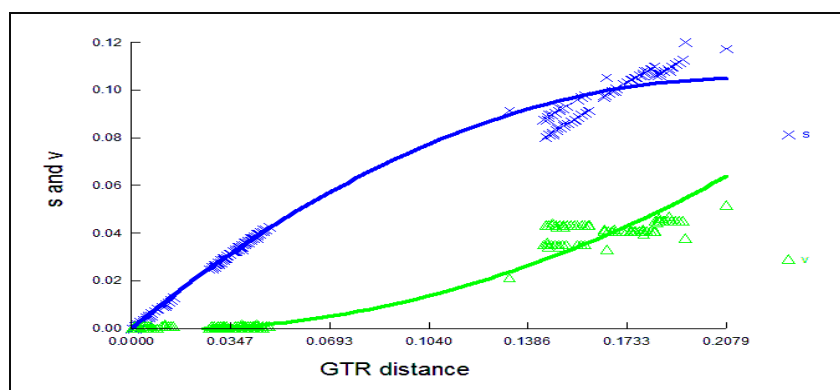
این مطالعه با توالی یابی کامل ژن ND2 میتوکندری ویژگی های ژنتیکی، ۱۳ جمعیت جوجه آور کمرکولی جنگلی را تحت بررسی قرار داد و در مجموع چهار هاپلوتاپ منحصر به فرد در زیستگاه های جنگلی زاگرس به ۵۲ هاپلوتاپ مطالعات قبلی (Hung *et al.*, 2012) اضافه شد. تنوع ژنتیکی (تنوع هاپلوتاپی و نوکلئوتیدی) جمعیت های زاگرس به مرتب پایین تر از سایر تبارهای تحت بررسی بود. پایین بودن تنوع ژنتیکی جمعیت های زاگرس احتمالاً می تواند به دلیل تکه شدگی شدید زیستگاه های جنگلی در این منطقه باشد لیکن برای قطعیت این موضوع نیاز به استفاده از تعداد نمونه های بیشتر به همراه مارکرهای ژنتیکی متفاوت (هسته ای و میتوکندری) است. همچنین تعداد اندک نمونه ها از این منطقه تحلیل های گسترش ناگهانی جمعیت براساس نمودارهای پراکنش ناهمخوان وجود یک حالت تک مدلی در بین تبارهای آسیا، قفقاز و اروپا نشان دادند براین اساس می توان احتمال یک گسترش ناگهانی جمعیتی در بین تبارهای مذکور را استنباط نمود.

در پژوهش صورت گرفته توسط Hung و همکاران (2012) وجود سه تبار اروپا، آسیا و قفقاز را براساس نتایج توالی هسته ای و میتوکندریایی اثبات نمودند و وجود ۲۹ تا ۳۲ چesh را براساس توالی کامل ژن ND2 در بین سه تبار مذکور نشان دادند. تحلیل تبارشناسی مطالعه حاضر براساس توالی ژن ND2 نشان داد که جمعیت های زاگرس با احتمال پسین (۰/۹۹) و بوت استرب ۹۸/۹۸ از جمعیت های قفقاز جدا شده است که در نتیجه

نسبت به (۰/۷۶۱) Iss.c در تحلیل اشباع جایگزینی کوچک تر و معنی دار به دست آمد. همچنین نمودار نرخ جانشینی نوع اول و دوم در مقابل واگرایی ژنتیکی حاکی از اشباع جایگزینی بسیار اندک در توالی های تحت بررسی است (شکل ۲) از ۱۴۶ تا ۱۰۱ توالی تحت بررسی تعداد ۹۰ هاپلوتاپ به دست آمد که تعداد ۵۶ هاپلوتاپ منحصر به فرد بودند. همچنین از ۱۰ توالی تحت بررسی مربوط به دو جمعیت از رشته کوه زاگرس (کرمانشاه و یاسوج)، تعداد چهار هاپلوتاپ شناسایی شد که یک هاپلوتاپ در بین این دو جمعیت مشترک بودند. بیشترین و کمترین تنوع ژنتیکی (تنوع نوکلئوتیدی و هاپلوتاپی) در بین تبارهای آسیا و زاگرس مشاهده شد. شکل ۳ نتایج آزمون تطابق را نشان می دهد. براین اساس نمودار فراوانی هاپلوتاپ های مشاهده شده نسبت مورد انتظار در جمعیت های تبار قفقاز، اروپا و آسیا یک حالت تک مدلی را نشان دادند (شکل B, C و D). در حالی که جمعیت زاگرس فاقد این حالت تک مدلی بوده است (شکل A؟).

آزمون معیارهای اطلاعات بیزین (BIC) و اطلاعات آکایکه (AIC) نشان داد که مدل (G=۰/۰۹۱) TRN+G به عنوان بهترین مدل تکاملی نوکلئوتیدی برای توالی های مورد نظر شناسایی شد. توپولوژی درخت های تبارشناسی بیزین و حداقل درست نمایی بر مبنای مدل تکاملی انتخاب شده نشان داد که جمعیت های زاگرس به ترتیب با احتمال پسین و بوت استرب ۹۸/۹۸ و ۰/۹۹ از جمعیت قفقاز جدا شده است (شکل ۴). نتایج تحلیل شبکه هاپلوتاپی براساس اتصال میانه نشان داد که جمعیت هایی زاگرس تنها با پنج جهش از جمعیت های قفقاز اختلاف دارد این در حالی است که سه هاپلوگروپ آسیا، قفقاز و اروپا با ۲۸ جهش از یکدیگر جدا شده اند (شکل ۵).

جدول ۲ نتایج حاصل از تجزیه واریانس مولکولی (AMOVA) را نشان می دهد. این نتایج حاکی از آن است که درصد ۹۳/۹۸ از کل تغییرات ساختار ژنتیکی در بین جمعیت های کمرکولی جنگلی وجود دارد در حالی که درون جمعیت های این گونه ۶۰/۲ درصد تغییرات ساختار ژنتیکی را شامل شده است. همچنین اگر سه کلاد قفقاز، اروپا و آسیا در گروه های مجزا طبقه بندی شوند، تغییرات ساختار ژنتیکی در بین این گروه های مختلف ۹۵/۷۳، تغییرات در داخل جمعیت های هر گروه ۳/۵۷ و تغییرات درون جمعیتی ۲/۷۰ درصد است. آماره های F_{ST} و F_{CT} در سطح خطای ۰/۰۰۱ و آماره



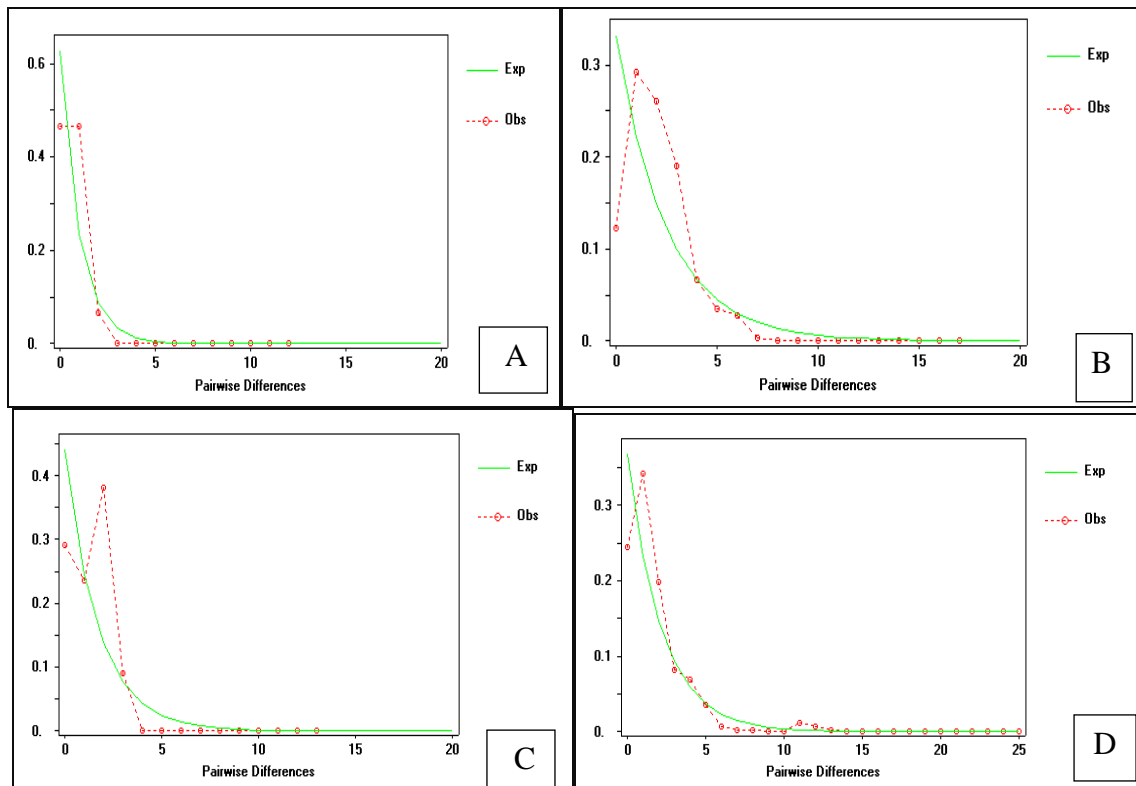
شکل ۲- پلات جانشینی‌های نوع اول و دوم در مقابل واگرایی ژنتیکی.

Fig. 2. Plotting the observed transitions and transversions against the genetic divergence.

جدول ۱- ویژگی‌های ژنتیکی تبارهای تحت بررسی و شاخص تنوع ژنتیکی (Hd = تنوع هaplotype، Pi = تنوع نوکلئوتیدی، n = تعداد نمونه‌ها، k = میانگین تعداد نوکلئوتیدهای مختلف).

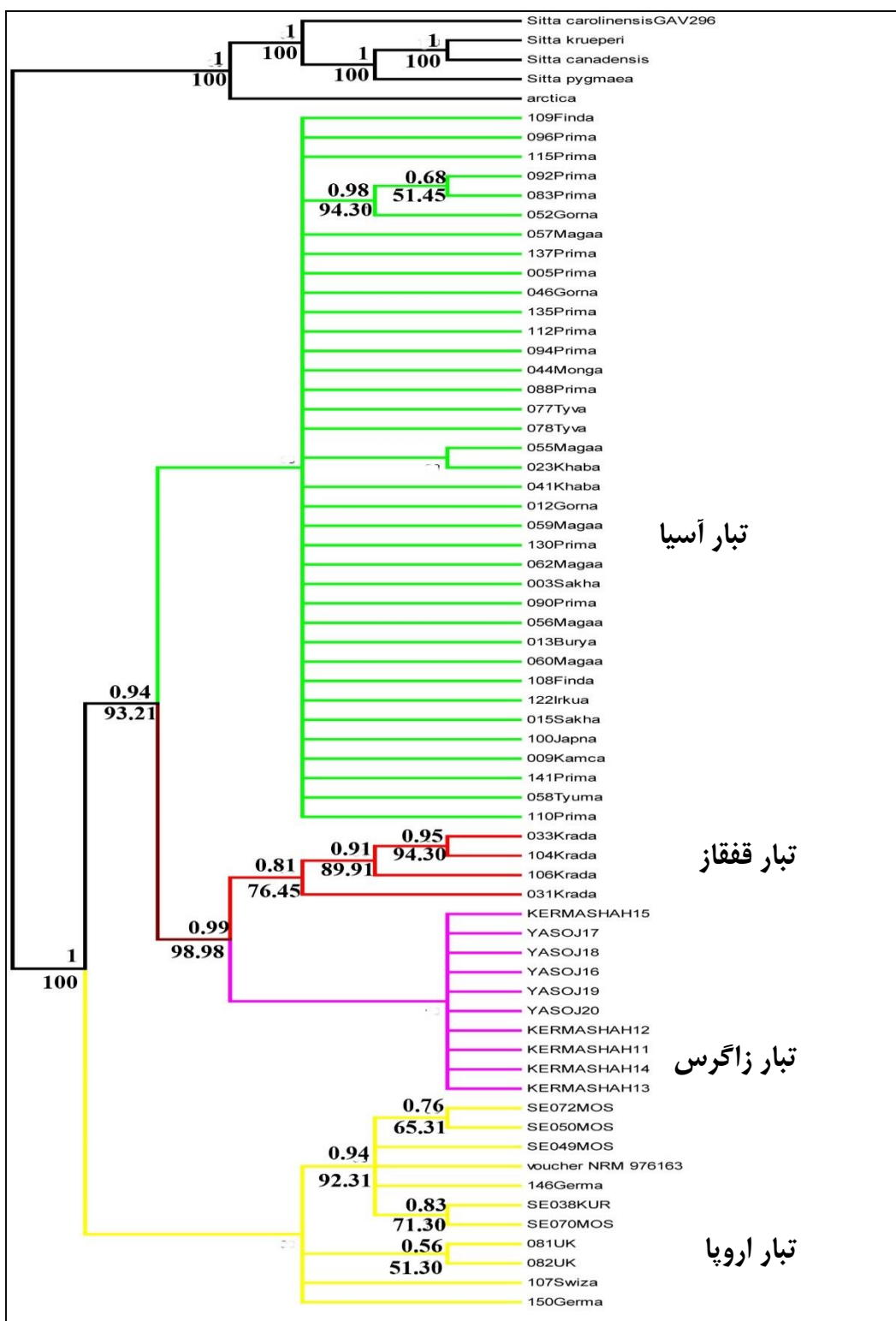
Table 1. The genetic characteristics of lineage and genetic diversity index (Hd - haplotype diversity, Pi - nucleotide diversity, n : number of samples, K - The average number of different nucleotides).

	k	pi	Hd	H	n	تبار
	۱/۷۲	۰/۰۰۱۶	۰/۷۵	۳۷	۱۰۲	آسیا
	۱/۲۷	۰/۰۰۱۲	۰/۷۰	۳	۱۱	فقاز
	۰/۶	۰/۰۰۰۵	۰/۵۳	۴	۱۰	زاغرس
	۲/۰۲	۰/۰۰۱۹	۰/۸۶	۱۱	۲۳	اروپا



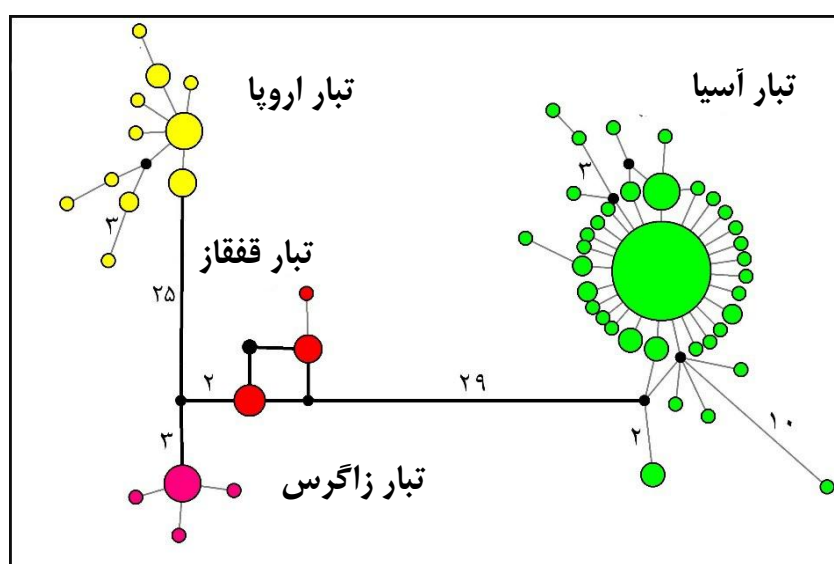
شکل ۳- نمودارهای پراکنش ناهمخوان براساس توالی کامل زن ND2. A: تبار زن زاغرس، B: تبار قفقاز، C: تبار اروپا و D: تبار آسیا. محور افقی تعداد نوکلئوتیدهای مختلف در بین افراد و محور عمودی فراوانی نسبی تعداد نوکلئوتید مختلف نشان می‌دهد.

Fig. 3. Graphs of mismatch distribution based complete sequence ND2. A: Zagros lineage, B: Caucasian lineage, C: European lineage and D: Asian lineage. Horizontal axis is number of different nucleotides between individuals, and the vertical axis indicates the relative frequency of different nucleotide numbers.



شکل ۴- درخت تبارشناصی کمرکولی جنگلی در زیستگاههای زاگرس با استفاده از دو روش بیزین و حداکثر درست‌نمایی (توپولوژی یکسان). اعداد بالا نمایانگر احتمال پسین حاصل از درخت بیزین و اعداد پایین مربوط به شاخص بوت استرپ حاصل از روش حداکثر درست‌نمایی.

Fig. 4. Phylogenetic tree of Eurasian Nuthatches in habitat Zagros through two methods bayesian and maximum likelihood, with the values of top branches corresponding to posterior probabilities and the lower branches representing Bootstrap support.



شکل ۵- شبکه هاپلوتایپی مربوط به کمرکولی جنگلی (*S. europaea*) و دیگر کمرکولی‌های آسیایی براساس روش اتصال میانه و ژن ND2. اندازه و رنگ دایره‌ها به ترتیب براساس تعداد هاپلوتایپ‌ها و مکان هاپلوتایپ بوده است. اعداد بر روی خطوط اتصال بین هاپلوتایپ‌ها نمایانگر تعداد جهش هستند.

Fig. 5. Haplotype network (Median Joining network) of the Eurasian Nuthatch and other Eurasian Nuthatches, based on complete ND2 sequence. Size and color of circles represent the number and position of haplotypes respectively. The numbers above the connecting branches reflect the number of mutational steps joining the haplotypes.

جدول ۲- تجزیه واریانس مولکولی (AMOVA) در بین جمعیت‌های کمرکولی جنگلی ۱) در نظر گرفتن همه جمعیت‌ها بعنوان یک گروه ۲) گروبندی جمعیت‌ها براساس کلادهای مشخص شده در تحلیل‌های تبارشناختی.

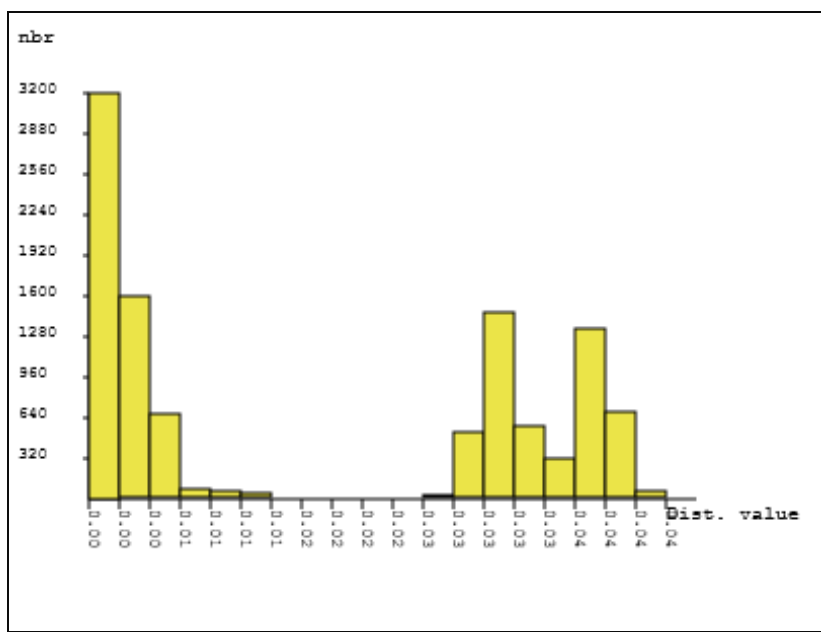
Table 2. Analysis of molecular variance (AMOVA) for four lineages of the Eurasian Nuthatch 1) considering all populations as a unified group and 2) grouping of populations based on identified lineages by phylogenetic analysis.

F آماره	درصد واریانس	مجموع مربعات	f.d.	متابع تغییر
$F_{ST}=0.94^{**}$	۹۳/۹۸	۹۸۵/۱۹	۱۲	(۱) بین جمعیت‌های مختلف
	۶/۰۲	۶۶/۳۷	۱۰۹	درون جمعیت‌ها
		۱۰۵/۵۰	۱۲۱	کل
$F_{CT}=0.96^{**}$	۹۵/۷۳	۹۴۲/۴۰	۳	(۲) بین گروه‌های مختلف
$F_{SC}=0.73^*$	۲/۵۷	۴۲/۷۸	۱۰	بین جمعیت‌های داخل یک گروه
$F_{ST}=0.96^{**}$	۲/۷۰	۶۶/۳۰	۱۰۹	بین افراد درون یک جمعیت
		۱۰۵/۵۰	۱۲۱	کل

جدول ۳- فاصله ژنتیکی در بین پنج زیرگونه کمرکولی جنگلی در اوراسیا. (اعداد پایین و راست نشان‌دهنده تفاوت‌های ژنتیکی و اعداد بالا و چپ نشان‌دهنده انحراف معیار هستند).

Table 3. Genetic distance among five subspecies of *S. europaea* in Eurasia (the below and right numbers represent the genetic differences and the upper and left numbers represent the standard deviation).

<i>amurensis</i>	<i>asiatica</i>	<i>caucasan</i>	<i>persica</i>	<i>europaea</i>	مقدار	زیرگونه
۰/۰۰۶	۰/۰۰۶	۰/۰۰۶	۰/۰۰۶	۰/۰۰۶	۱۷	<i>europaea</i>
۰/۰۰۶	۰/۰۰۵	۰/۰۰۶		۰/۰۲۹	۱۰	<i>persica</i>
۰/۰۰۵	۰/۰۰۲		۰/۰۰۶	۰/۰۲۹	۱۱	<i>caucasan</i>
۰/۰۰۰		۰/۰۳۱	۰/۰۳۲	۰/۰۳۹	۴۵	<i>asiatica</i>
	۰/۰۰۱	۰/۰۳۰	۰/۰۳۲	۰/۰۳۸	۴۸	<i>amurensis</i>



شکل ۶- تحلیل بار کدینگ گپ براساس مدل جانشینی K2P

Fig. 6. The Barcoding gap analysis based on K2P substitution model.

(Zink, 2004; Zink, 2014). بدین ترتیب چنانچه مقدار فاصله ژنتیکی بین دو زیرگونه زیاد باشد می‌توان هر کدام از آنها را بعنوان یک گونهٔ مجزا ارتقا داد این درحالی است که وجود فاصله ژنتیکی کم در بین دو زیر گونه نشان‌دهنده نزول آنها به یک گونهٔ یکپارچه بوده است (Burbrink *et al.*, 2000). در یک مطالعهٔ مروری Torstrom و همکاران (2014) با استفاده از فاصله ژنتیکی داده‌های میتوکندریایی به بررسی اعتبار سنجی زیر گونه‌های خزندگان پرداختند. بر این اساس آنها دریافتند که بیش از ۶۰ درصد زیرگونه‌های تحت بررسی باستی بعنوان گونه‌های مجزا شناخته شوند و ۴۰ درصد زیرگونه‌های خزندگان به یک گونهٔ یکپارچه معروفی شوند. به نظر می‌رسد که آرایه‌شناسی زیرگونه‌های پرنده‌گان هم مانند خزندگان احتیاج به بازنگری اساسی دارد (Zink, 2004). نتایج مطالعهٔ حاضر با استفاده از توالی کامل ژن ND2 نشان داد که میانگین فاصله ژنتیکی پنج زیرگونه کمرکولی جنگلی S.e. ۰/۰۳ است، درحالی که فاصله ژنتیکی زیرگونه‌های زاگرسی (S.e. persica) با زیرگونه قفقازی (S.e. caucasian) ۰/۰۰۶ محاسبه شد که نشان‌دهنده عدم تفکیک ژنتیکی قابل توجه بین این دو زیرگونه است. همچنین این مقدار در زیرگونهٔ شرق آسیا (S.e. asiatica) با زیرگونهٔ شرق و مرکز آسیا (amurensis) ۰/۰۰۱ به دست آمد. لذا بر این اساس باستی اعتبار سنجی زیرگونه‌های مذکور مورد تردید بوده و با استفاده از ژن‌های بیشتری

می‌توان جمعیت‌های زاگرس را بعنوان تبار مجزایی از تبار قفقاز محاسبه نمود. با این وجود شبکهٔ هاپلوتاپی، وجود پنج جهش در بین جمعیت‌های زاگرس و قفقاز را نشان میدهد که این میزان جهش در مقایسه با تعداد جهش‌های جدایی تبارهای آسیا، اروپا و قفقاز ۲۹ تا ۳۲ جهش در بین سه تبار اصلی مشاهده شد بسیار کمتر بوده است. نتایج تحلیل واریانس مولکولی (AMOVA) نشان داد که ۹۳/۹۸ درصد از کل تغییرات ژنتیکی در بین جمعیت‌های مختلف کمرکولی جنگلی وجود دارد که عمدت‌ترین این تغییرات مربوط به جمعیت‌های هر کلاه جدآگانه است. به عبارت دیگر، جمعیت‌های هر کلاه دارای کمترین درصد تغییرات در ساختار ژنتیکی هستند ولی با جمعیت‌های کلاه دیگر بیشترین تغییرات ژنتیکی را نشان می‌دهند. از سوی دیگر چنانچه مقدار دیگر تفاوت ژنتیکی اندک بین جمعیت‌های مختلف است. باشد، بیانگر تفاوت ژنتیکی اندک بین جمعیت‌های مختلف و بر این اساس، مقدار بین ۰/۰۵ تا ۰/۲۵ نشان‌دهنده تفاوت متوسط و بیش از ۰/۲۵ نشانگر تفاوت ژنتیکی زیاد بین جمعیت‌ها است (Antao *et al.*, 2008). مقدار F_{ST} در مطالعهٔ حاضر حاکی از بروز یک تفاوت ژنتیکی معنادار در بین جمعیت‌های مختلف کمرکولی جنگلی است.

برآورده فاصله ژنتیکی بعنوان یک روش رایج برای اعتبار سنجی زیرگونه براساس داده‌های توالی ژنتیکی است (Torstrom *et al.*, 2014).

REFERENCES

- Antao, T., Lopes, A., Lopes, R. J., Beja-Pereira, A. and Luikart, G. 2008. LOSITAN: a workbench to detect molecular adaptation based on a F ST-outlier method. – BMC Bioinformatics 9: 323-333.
- Ashton, K.G. and de Queiroz, A. 2001. Molecular systematics of the western rattlesnake, *Crotalus viridis* (Viperidae), with comments on the utility of the D-loop in phylogenetic studies of snakes. – Mol. Phyl. Evol. 21: 176-189.
- Avise, J.C. and Wollenberg, K. 1997. Phylogenetics and the origin of species. – PNATLASCI, 94: 7748-7755.
- Avise, J.C. 1996. Introduction: the scope of conservation genetics. In Conserv. Genetics (pp. 1-9). Springer US.
- Avise, J.C. 2000. Phylogeography: the history and formation of species: Harvard Univ. Press, Cambridge, MA. Pp 447.
- Baguette, M., Legrand, D., Fréville, H., Van Dyck, H., Ducatez, S., Clobert, J., Baguette, M. and Bullock, J. 2012. Evolutionary ecology of dispersal in fragmented landscape. – Disp. Ecolo. Evol. 19: 381-391.
- Bandelt, H.J., Forster, P. and Röhl, A. 1999. Median-joining networks for inferring intraspecific phylogenies. – Mol. Biol. Evol. 16: 37-48.
- Bianconi, R., Battisti, C., and Zapparoli, M. 2003. Pattern of richness, abundance and diversity of four interior bird species in a hilly landscape in Central Italy: a contribution to assess their sensitivity to habitat fragmentation. – J. Mediterranean Ecol. 4: 37-44.
- Burbrink, F.T., Lawson, R. and Slowinski, J.B. 2000. Mitochondrial DNA phylogeography of the polytypic North American rat snake (*Elaphe obsoleta*): a critique of the subspecies concept. – Evol. 54: 2107-2118.
- Clements, J., Schulenberg, T., Illiff, M., Robertson, D., Fredericks, T., Sullivan, B. and Wood, C. 2014. The eBird/Clements checklist of birds of the world: Version 6.9. Available at <http://www.birds.cornell.edu/clementschecklist/downloadable-clements-checklist>.
- Darriba, D. and Posada, D. 2014. jModelTest 2.0 Manual v0. 1.1.
- Drovetski, S.V., Zink, R.M., Fadeev, I.V., Nesterov, E. A., Koblik, E.A., Red'kin, Y. and Rohwer, S. 2004. Mitochondrial phylogeny of *Locustella* and related genera. – J. Avian Biol. 35: 105-110.
- Drummond, A.J. and Rambaut, A. 2007. BEAST: Bayesian evolutionary analysis by sampling trees. – BMC J. Evol. Biol. 7: 214-221.
- Excoffier, L. and Schneider, S. 1999. Why hunter-gatherer populations do not show signs of Pleistocene demographic expansions. – P. Natl. Acad. Sci. 96: 10597-10602.
- Fu, Y.X. 1997. Statistical tests of neutrality of mutations against population growth, hitchhiking and background selection. – Genetics, 147: 915-925.
- González-Varo, J.P., López-Bao, J.V. and Guitián, J. 2008. Presence and abundance of the Eurasian nuthatch *Sitta europaea* in relation to the size, isolation and the

تحت بررسی مجدد قرار بگیرد. از سوی دیگر نتایج آزمون بارکدینگ گپ یک آستانه سه تا چهار درصدی را برای واگرایی افراد بین زیرگونه‌ای و یک واگرایی یک درصد برای افراد درون جمعیتی نشان داد (شکل ۶). این درحالی است که واگرایی ژنتیکی زیرگونه‌های مذکور در آستانه افراد درون جمعیت قرار گرفت. لذا شاید بتوان کمرکولی جنگلی زاگرس را عنوان جمعیت جدا شده‌ای از زیرگونه قفقازی دانست. لیکن برای اعتبار سنجی مستدل زیرگونه‌های مذکور باستی از تعداد بیشتری ژن‌های میتوکندریایی و هسته‌ای استفاده شود.

از آنجایی که تمامی زیرگونه‌ها به ندرت نشان‌دهنده تاریخ تکاملی مستقلی هستند، لذا متخصصان معتقدند که همه زیرگونه‌ها نمی‌توانند به عنوان واحدهای مدیریتی مجزا جهت برنامه‌های حفاظت در نظر گرفته شوند (Zink, 2004; Zink et al., 2000). به طوریکه با مشخص کردن هر کlad بعنوان یک واحد تکاملی، نقش اساسی در طراحی برنامه‌های حفاظتی ایفا کند (Hung et al., 2012). به عبارت دیگر چنانچه برنامه‌های حفاظتی برای هر واحد تکاملی به طور مجزا انجام گیرد، تاریخ تکاملی جمعیت‌های هر واحد در جهت افزایش سازگاری گونه نسبت به تغییرات محیطی حفظ می‌شود. بر این اساس (Hung et al. 2012) واحدهای تکاملی کمرکولی جنگلی را به سه دسته آسیا، اروپا و قفقاز طبقه‌بندی نموده و هر واحد تکاملی را عنوان گونه‌های تکاملی نژادی و حتی گونه‌های زیست‌شناسنخی معرفی نمودند. نتایج مطالعه حاضر نشان داد که زیرگونه *S.e. persica* در جنگل‌های زاگرس در تباری مجزا از تبار قفقاز است که با زیرگونه *S.e.caucasicus* دارای واگرایی ژنتیکی بسیار کمی است. لذا بر اساس پژوهش حاضر، می‌توان جمعیت‌های کمرکولی جنگلی در زیستگاه‌های زاگرس را عنوان جمعیت جدا شده‌ای از زیرگونه کمرکولی جنگلی قفقازی استنباط نمود.

سپاسگزاری

از تمامی محیط‌بانان فداکار سازمان حفاظت محیط‌زیست که طی مراحل نمونه‌برداری از هیچ کمکی دریغ نکردند، سپاسگزاری می‌شود. همچنین از دکتر Chih-Ming Hung برای فراهم نمودن برخی داده‌ها تشکر می‌شود.

- intensity of management of chestnut woodlands in the NW Iberian Peninsula. – *Landscape. Ecol.* 23: 79-89.
- Guindon, S. and Gascuel, O.** 2003. A simple, fast, and accurate algorithmt to estimate large phylogenies by maximum likelihood. – *Syst. Biol.* 52: 696-704.
- Hackett, S.J.** 1996. Molecular phylogenetics and biogeography of tanagers in the genus *Ramphocelus* (Aves). – *Mol. Phyl. Evol.* 5: 368-382.
- Harrap, S. and Quinn, D.** 1995. Chickadees, tits, nuthatches & treecreepers Princeton University Press, Princeton. Pp 464.
- Hiendleder, S., Lewalski, H., Wassmuth, R. and Janke, A.** 1998. The complete mitochondrial DNA sequence of the domestic sheep (*Ovis aries*) and comparison with theother major ovine haplotype. – *J. Mol. Evol.* 47: 441-448.
- Hrbek, T., Farias, I.P., Crossa, M., Sampaio, I., Porto, J.I. and Meyer, A.** 2005. Population genetic analysis of *Arapaima gigas*, one of the largest freshwater fishes of the Amazon basin: implications for its conservation. – *Anim. Conserv.* 8: 297-308.
- Huelsenbeck, J.P. and Ronquist, F.** 2001. MRBAYES: Bayesian inference of phylogenetic trees. *Bioinformatics* 17: 754-755.
- Hung, C.M. and Zink, R.M.** 2014. Distinguishing the effects of selection from demographic history in the genetic variation of two sister passerines based on mitochondrial-nuclear comparison. – *J. Hered.* 113: 42-51.
- Hung, C.M., Drovetski, S.V. and Zink, R.M.** 2012. Multilocus coalescent analysis support a mtDNA-based phylogeographic history for a wide spread palearctic passerine bird, *Sitta europaea*. – *Evol.* 66: 2850-2864.
- Kaboli, M., Aliabadian, M., Tohidifar, M., Musavi, S. B., Hashemi, A. and Roselaar, C.C.** 2012: Atlas of birds of Iran. Tehran: Department of Environment of Iran. Pp: 628.
- Khalilipour, O., Rezaei, H.R., Alizadeh Shabani, A., Kaboli, M. and Ashrafi, S.** 2014. Genetic structure and differentiation of four populations of Afghan Pika (*Ochotona rufescens*) in Iran based on mitochondrial cytochrome b gene. – *Zool. Midd. East.* 60: 288-298.
- Librado, P. and Rozas, J.** 2009. DnaSP v5: a software for comprehensive analysis of DNA polymorphism data. – *Bioinformatics* 25: 1451-1452.
- Matthysen, E., Adriaensen, F. and Dhondt, A.A.** 1995. Dispersal distances of nuthatches, *Sitta europaea*, in a highly fragmented forest habitat. – *Oikos* 1: 375-381.
- Matthysen, E. and Currie, D.** 1996. Habitat fragmentation reduces disperser success in juvenile nuthatches *Sitta europaea*: evidence from patterns of territory establishment. – *Ecography* 19: 67-72.
- Mayr, E.** 1970. Populations, species, and evolution: an abridgment of animal species and evolution. Harvard University Press. Pp: 240.
- Mortelliti, A., Fagiani, S., Battisti, C., Capizzi, D. and Boitani, L.** 2010. Independent effects of habitat loss, habitat fragmentation and structural connectivity on forest-dependent birds. – *Divers. Distrib.* 16: 941-951.
- Mulcahy, D.G.** 2008. Phylogeography and species boundaries of the western North American Nightsnake (*Hypsiglena torquata*): revisiting the subspecies concept. – *Mol. Phyl. Evol.* 46: 1095-1115.
- Nouri, S. and Aliabadian, M.** 2014. Performance of two mitochondrial genes, ND2 and COI to identify Passerin birds of Khorasan Province. – 18th National and 6th International Congress of Biology in Iran.
- Owen, J.C.** 2011. Collecting, processing, and storing avian blood: a review. – *J. Field. Ornithol.* 82: 339-354.
- Pravosudov, V.V.** 1993. Breeding biology of the Eurasian Nuthatch in northeastern Siberia. – *The Wilson Bulletin* 475-482.
- Puillandre, N., Macpherson, E., Lambourdière, J., Cruaud, C., Boisselier-Dubayle, M. C. and Samadi, S.** 2011. Barcoding type specimens helps to identify synonyms and an unnamed new species in *Eumunida* Smith, 1883 (Decapoda: Eumunididae). – *Inverteber. Syst.* 25: 322-333.
- Ramírez-Soriano, A., Ramos-Onsins, S.E., Rozas, J., Calafell, F. and Navarro, A.** 2008. Statistical power analysis of neutrality tests under demographic expansions, contractions and bottlenecks with recombination. – *Genetics* 179: 555-567.
- Ramos-Onsins, S.E. and Rozas, J.** 2002. Statistical properties of new neutrality tests against population growth. – *Mol. Biol. Evol.* 19: 2092-2100.
- Ronquist, F., and Huelsenbeck, J.P.** 2003. MrBayes 3: Bayesian phylogenetic inference under mixed models. – *Bioinformatics* 19: 1572-1574.
- Tajima, F.** 1989. Statistical method for testing the neutral mutation hypothesis by DNA polymorphism. – *Genetics* 123: 585-595.
- Tamura, K., Peterson, D., Peterson, N., Stecher, G., Nei, M. and Kumar, S.** 2011. MEGA5: molecular evolutionary genetics analysis using maximum-likelihood, evolutionary distance, and maximum parsimony methods. – *Mol. Biol. Evol.* 28: 2731-2739.
- Thompson, J.D., Higgins, D.G., and Gibson, T.J.** 1994. CLUSTAL W: improving the sensitivity of progressive multiple sequence alignment through sequence weighting, position-specific gap penalties and weight matrix choice. – *Nucleic Acids. Res.* 22: 4673-4680.
- Torstrom, S.M., Pangle, K.L. and Swanson, B.J.** 2014. Shedding subspecies: The influence of genetics on reptile subspecies taxonomy. – *Mol. Phyl. Evol.* 76: 134-143.
- Van Langevelde, F., Schotman, A., Claassen, F. and Sparenburg, G.** 2000. Competing land use in the reserve site selection problem. – *Landscape. Ecol.* 15: 243-256.
- Vaurie, C.** 1950. Notes on some Asiatic nuthatches and creepers. – The American Museum of Natural history city of New York. pp: 1-10.
- Wang, L.Y., Ikeda, H., Liu, T.L., Wang, Y.J. and Liu, J.Q.** 2009. Repeated range expansion and glacial endurance of *Potentilla glabra* (Rosaceae) in the Qinghai-Tibetan Plateau. – *J. Integ. Plant Biol.* 51: 698-706.
- Xia, X. and Lemey, P.** 2009. Assessing substitution saturation with DAMBE. The phylogenetic handbook: a practical approach to DNA and protein phylogeny. – Cambridge University Press 2: 615-630.

- Xia, X. and Xie, Z.** 2001. DAMBE: Software package for data analysis in molecular biology and evolution. – *J. Hered.* 92: 371-373.
- Yu, F., Li, S., Kilpatrick, W.C., McGuire, P.M., He, K., and Wei, W.** 2012. Biogeographical study of plateau pikas *Ochotona curzoniae* (*Lagomorpha, Ochotonidae*). – *Zool. Sci.* 29: 518-526.
- Zink, R.M., Barrowclough, G.F., Atwood, J.L. and Blackwell- Rago, R.C.** 2000. Genetics, taxonomy, and conservation of the threatened California gnatcatcher. – *Conserv. Biol.* 14: 1394-1405.
- Zink, R.M.** 2004. The role of subspecies in obscuring avian biological diversity and misleading conservation policy. – *Biol. Sci.* 271: 561-564.
- Zink, R.M., Drovetski, S.V. and Rohwer, S.** 2006. Selective neutrality of mitochondrial ND2 sequences, phylogeography and species limits in *Sitta europaea*. – *Mol. Phyl. Evol.* 40: 679-686.
- Zuckerberg, B., Carling, M., Dor, R., Ferree, E., Spellman, G. and Townsend, A.** 2014. Differential relationships between habitat fragmentation and within-population genetic diversity of three forest-dwelling birds. – *BioRxiv* 1: 14-40.

How to cite this article:

Nazarizadeh, M., Kaboli, M., Rezaei, H.R., Imani, J., Mohmmadi, A. and Khaki, S. 2018. Evolutionary history of subspecies of Eurasian nuthatches (*Sitta europaea persica*) from Zagros Mountains, Iran. – *Nova Biologica Rep.* 2018: 155-167.

نظری‌زاده، م.، کابلی، م.، رضایی، ح.ر.، ایمانی، ج.، محمدی، ع. و سعید خاکی. ۱۳۹۷. بررسی تاریخ تکاملی زیرگونه کمرکولی جنگلی در کوه‌های زاگرس، ایران. – یافته‌های نوین در علوم زیستی ۱۳۹۷: ۱۵۵-۱۶۷.